

Numerická derivace a kvadratura

1/20
mmfch4

kvadratura = výpočet určitého integrálu

jednodimensionální

- Data proložit vhodnou funkci a tu pak derivovat/integrovat. Vhodné, jsou-li data zatížena chybami. Příklad: Shomateova rovnice

$$C_{pm}^*(T) = A + BT + CT^2 + DT^3 + ET^4$$

- Derivace: Nahradit derivace diferencemi

- potřebujeme několik bodů v okolí
- přesnost klesá

Kvadratura: Nahradit součtem přes vybrané body v daném intervalu

- přesnost stoupe

vícenásobný

- parciální derivace: opakuj pro všechny proměnné/směry

- kvadratura: několik vnořených 1D kvadratur (do cca 3D–5D)

Monte Carlo, Conroy (poloprávidelný vzor bodů, něco mezi obdélníkem a MC)

Numerická první derivace

2/20
mmfch4

Diferenční vzorce se odvodí z Taylorova rozvoje.

První derivace:

$$\begin{aligned} \frac{f(x+h)-f(x)}{h} &= f'(x) + \frac{h}{2}f''(x) + \frac{h^2}{6}f'''(x) + \dots \\ &= f'(x) + \mathcal{O}(h) \\ \Rightarrow f'(x) &= \frac{f(x+h)-f(x)}{h} + \mathcal{O}(h) \end{aligned} \quad g(h) = \mathcal{O}(h^n) \Leftrightarrow \exists M > 0 \text{ a } h_0 > 0 : |g(h)| \leq Mh^n \forall h \leq h_0$$

Je to tedy vzorec 1. řádu v h (chyba je $\mathcal{O}(h)$ neboli řádu h).

Zpřesnění

(centrální vzorec)

$$\begin{aligned} f'(x) &= \frac{f(x+h)-f(x-h)}{2h} + \mathcal{O}(h^2) \\ f'(x) &= \frac{-f(x+2h)+8f(x+h)-8f(x-h)+f(x-2h)}{12h} + \mathcal{O}(h^4) \end{aligned} \quad (1)$$

Derivace zprava – když známe funkci jen na jedné straně

viz mmpc4.mw

$$f'(x) = \frac{-f(x+2h)+4f(x+h)-3f(x)}{2h} + \mathcal{O}(h^2) \quad (2)$$

Numerická druhá derivace

3/20
mmfch4

Stejně odvodíme vzorce pro **druhou derivaci**, nejjednodušší centrální je

$$f''(x) = \frac{f(x+h)-2f(x)+f(x-h)}{h^2} + \mathcal{O}(h^2) \quad (3)$$

Přesnější centrální vzorec:

$$f''(x) = \frac{-f(x+2h)+16f(x+h)-30f(x)+16f(x-h)-f(x-2h)}{12h^2} + \mathcal{O}(h^4)$$

Jaký krok h zvolit?

plot/numprec.sh 4/20
mmfch4

Ozn. ϵ = numerická přesnost: nejméně zobrazitelné číslo > 1 je $1 + \epsilon$

- 64 bit (double, REAL*8): $\epsilon = 2^{-52} \doteq 2 \times 10^{-16}$, dnešní standard

- 80 bit (extended, long double, REAL*10): $\epsilon = 2^{-63} \doteq 1 \times 10^{-19}$ (vnitřně používá FPU na x86 architekturách, lze i samostatně)

- 32 bit (float, REAL*4): $\epsilon = 2^{-23} \doteq 1 \times 10^{-7}$ (dnes minimální zisk rychlosti s výjimkou GPU)

Pravidlo: Nejlepší h má stejnou zaokrouhlovací chybu a chybu metody.

Příklad: Jaké h je optimální v rovnici (1)?

viz mmpc4.mw, Numerical derivative

zaokrouhlovací chyba $\propto \epsilon/h$

chyba metody $\propto h^4$

$\epsilon/h = h^4$, pro $\epsilon = 1 \times 10^{-15} \Rightarrow h \approx \epsilon^{1/5} = 1 \times 10^{-3}$

plot/numprec.sh = graf funkce $1 + 2^x - 1$

Numerická kvadratura

5/20
mmfch4

Numerická integrace na intervalu $[a, b]$. Předpoklad: dostatečný počet derivací je konečný v celém intervalu. Pokud není (např. \sqrt{x} v intervalu $[0, 1]$), nutno řešit substitucí.

Obecný vzorec:

$$\int_a^b f(x)dx = \sum w_i f(x_i), \quad x_i \in [a, b]$$

Metody:

- ekvidistantní argumenty (Newton-Cotes):

- uzavřené: používají $f(a), f(b)$

- otevřené: body jen uvnitř intervalu

- neekvidistantní argumenty (Gauss): obvykle efektivnější (pro složitou funkci a máme-li data v libovolných bodech)

Typicky se interval $[a, b]$ rozdělí na kratší intervaly (případně různě dlouhé) a vhodná metoda se aplikuje v každém z nich.

Nevlastní intervaly:

- vhodná substituce převádějící interval na konečný

- speciální metody

Newtonovy-Cotesovy vzorce

Lichoběžníkové pravidlo (uzavřený vzorec):

$$\int_a^b f(x)dx = \frac{b-a}{2}[f(a) + f(b)] + \mathcal{O}((b-a)^2)$$

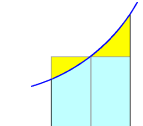
6/20
mmfch4

S více dělícími body:

$$\int_a^b f(x)dx = \left[\frac{f(a)}{2} + f(a+h) + f(a+2h) + \dots + \frac{f(b)}{2} \right] h + \mathcal{O}(h^2), \quad h = \frac{b-a}{n}$$

Obdélníkové pravidlo (otevřený vzorec): poloviční chyba než lichoběžník!

$$\int_a^b f(x)dx = (b-a)[f((a+b)/2)] + \mathcal{O}((b-a)^2)$$



Simpsonovo pravidlo:

$$\int_a^b f(x)dx = \frac{b-a}{6}[f(a) + 4f((a+b)/2) + f(b)] + \mathcal{O}((b-a)^4)$$

Výpočet řádu a chyby: z důvodu linearity stačí pro funkce $1, x, x^2, \dots$

7/20
mmfch4

Příklad.

Ověřte, že Simpsonovo pravidlo přesně integruje funkce $1, x, x^2, x^3$, avšak již ne x^4 , a proto řád chyby je $\mathcal{O}(h^4)$.

$$\begin{aligned} \int_0^1 1dx &= 1 = \frac{1-0}{6}(1+4 \cdot 1 + 1) = 1 \\ \int_0^1 xdx &= \frac{1}{2} = \frac{1-0}{6}(0+4 \cdot \frac{1}{2} + 1) = \frac{1}{2} \\ \int_0^1 x^2dx &= \frac{1}{3} = \frac{1-0}{6}(0+4 \cdot \frac{1}{2^2} + 1^2) = \frac{1}{3} \\ \int_0^1 x^3dx &= \frac{1}{4} = \frac{1-0}{6}(0+4 \cdot \frac{1}{2^3} + 1^3) = \frac{1}{4} \\ \int_0^1 x^4dx &= 0.2 \approx \frac{1-0}{6}(0+4 \cdot \frac{1}{2^4} + 1^4) = 0.2083 \end{aligned}$$

Gaussova(-Legendreova) kvadratura

8/20
mmfch4

Dvoubodový vzorec 4. řádu (2/3 chyba a o bod méně ve srovnání se Simpsonem): ověření = domácí úkol

$$\int_a^b f(x)dx = \frac{b-a}{2} \left[f\left(\frac{a+b}{2} - \frac{a-b}{2\sqrt{3}}\right) + f\left(\frac{a+b}{2} + \frac{a-b}{2\sqrt{3}}\right) \right] + \mathcal{O}((b-a)^4) \quad (4)$$

Čtyřbodový vzorec 8. řádu (chyba $\mathcal{O}(h^8)$) s dobrou numerickou stabilitou:

```
double Gauss8(double (*f)(double), double a, double b, int n)
// int[a,b] f(x) dx using 4-point Gauss quadrature with n subintervals
{
    const double
        q1=-0.430568155797026287612, // sqrt((15+sqrt(120))/140)
        q2=0.169990521792428132401, // sqrt((15-sqrt(120))/140)
        w0=0.173927422568726928687; // 1/4-sqrt(5/864)
    double h=(b-a)/n;
    double w1=h*w, w2=h/2-w1;
    double hl=h*w1, h2=h*q2;
    int i;
    double sum=0,x;
    for (i=0; i<n; i++) {
        x=h*i+(1+0.5)*w1;
        sum+=(f(x-h1)+f(x+h1))*w1+(f(x-h2)+f(x+h2))*w2;
    }
    return sum;
}
```

Koefficienty metod jsou kladné, což zajišťuje dobrou numerickou stabilitu.

Richardsonova extrapolace

9/20
mmfch4

Symetrické vzorce pro derivace a integrály (a třeba i řešení ODE) mají často chybu tvaru (liché členy jsou nulové)

$$S = S(h) + Ah^n + Bh^{n+2} + \dots \quad (n \text{ je obv. sudé})$$

Obecně můžeme mít

$$S = S(h) + Ah^n + Bh^{n+1} + \dots$$

$$S = S(h) + Ah^n$$

$$S = S(h) + A(h/2)^n$$

Zpřesnění:

$$S = \frac{2^n S(h/2) - S(h)}{2^n - 1} + \frac{S_2(h/2)}{\mathcal{O}(h^{n+1})}$$

V procesu můžeme pokračovat (s dvojnásobkou $S_2(h/4)$ a $S_2(h/2)$), atd.

proces selže nebo je nepřesný, nejsou-li splněny předpoklady, totiž že funkce má konečných dost derivací v celém intervalu

pokud koefficienty u h^k rychle rostou, jsou výsledky více kroků Richardsonovy extrapolace nespolehlivé

Numerická kvadratura

5/20
mmfch4

Numerická integrace na intervalu $[a, b]$. Předpoklad: dostatečný počet derivací je konečný v celém intervalu. Pokud není (např. \sqrt{x} v intervalu $[0, 1]$), nutno řešit substitucí.

Obecný vzorec:

$$\int_a^b f(x)dx = \sum w_i f(x_i), \quad x_i \in [a, b]$$

Metody:

- ekvidistantní argumenty (Newton-Cotes):

- uzavřené: používají $f(a), f(b)$

- otevřené: body jen uvnitř intervalu

- neekvidistantní argumenty (Gauss): obvykle efektivnější (pro složitou funkci a máme-li data v libovolných bodech)

Typicky se interval $[a, b]$ rozdělí na kratší intervaly (případně různě dlouhé) a vhodná metoda se aplikuje v každém z nich.

Nevlastní intervaly:

- vhodná substituce převádějící interval na konečný

- speciální metody

Příklady

Příklad. Pomocí vzorce (3) jsme vypočetli druhou derivaci jisté funkce v bodě $x = 0.3$:

$$\begin{array}{rcc} h & 0.02 & 0.01 \\ f''(x) \text{ podle (3)} & 74.479013 & 74.230722 \end{array}$$

Funkce byla $f(x) = \cos(x)/x$ a $x = 0.3$, pak $f''(0.3) = 74.147958$

$$f''(x) = \frac{74.230722 \times 4 - 74.479013}{4-1} = 74.147958$$

Příklad. Ukažte, že jeden krok Richardsonovy extrapolace lichoběžníkové metody je ekvivalentní Simpsonově metodě.

$$\begin{aligned} S(1) &= \frac{f(0)+f(1)}{2}, \quad S(1/2) = \frac{f(0)+2f(1/2)+f(1)}{4} \\ S_{\text{extrap}} &= \frac{4S(1/2)-S(1)}{4-1} = \frac{1}{3} \left[\frac{f(0)}{2} + 2f(1/2) + \frac{f(1)}{2} \right] \end{aligned}$$

viz mmpc4.mw Numerical quadrature

Obyčejné diferenciální rovnice – počáteční úlohy

11/20
mmfch4

$$y' = f(x, y), \quad y(x_0) = y_0$$

• y může být vektor (řešíme soustavu)

• rovnici vyššího řádu můžeme převést na soustavu rovnic 1. řádu (ovšem zpravidla bude efektivnější mít metodu šírou na míru)

$$y'' = f(x, y, y'), \quad \text{subst. } z = y' \Rightarrow z' = f(x, y, z), \quad y' = z$$

• Runge-Kutta: \oplus nepotřebují historii
 \oplus snadná změna kroku (i adaptivní)
 \oplus dobrá stabilita
 \ominus více výpočtu pravé strany

• prediktor-korektor: \oplus efektivnější (méně výpočtu pravé strany)
 \ominus start – musíme si předem napočítat historii
 \ominus nesnadná změna kroku
 \ominus mohou být nestabilní

• metody pro dynamické systémy ($\ddot{r} = f(r, \dot{r}, t)$):

– symplektické či aspoň reverzibilní (\Rightarrow zachování energie); geometrické integrátory, Trotter

– metody prediktor-korektor

Rozvětka: Eulerova metoda

12/20
mmfch4

Rovnice + počáteční podmínka:

$$y' = f(x, y), \quad y(x_0) = y_0$$

Rozvoj:

$$y(x+h) = y(x) + hy' + O(h^2)$$

1 krok Eulerovy metody:

$$y(x+h) = y(x) + hf(x, y)$$

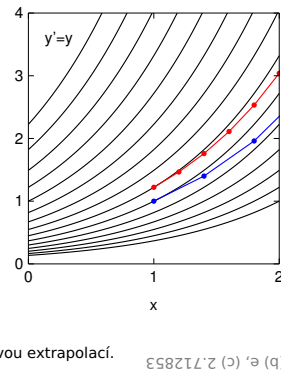
Metoda je lokálně 2. řádu, na konečném intervalu musíme provést $\propto 1/h$ kroků, tedy globální chyba je $O(h)$ (metoda 1. řádu).

Příklad.

(a) Ukažte, že n kroků Eulerovy metody řešení rovnice $y' = y$, $y(0) = 1$ s krokem $h = 1/n$ dává $y_n(1) = (1 + 1/n)^n$.

(b) Kolik je $\lim_{n \rightarrow \infty} y_n(1)$?

(c) Vypočtěte pro $n = 10$ a $n = 20$ a zpřesněte Richardsonovou extrapolací.



Runge-Kutta 2. řádu (RK2)

13/20
mmfch4

Zpřesnění (styl lichoběžník) – ve tvaru metody Runge-Kutta (RK2):

$$\begin{aligned} k_1 &:= f(x, y) \\ k_2 &:= f(x + h, y(x) + hk_1) \\ y(x+h) &:= y(x) + \frac{h}{2}(k_1 + k_2) \\ x &:= x + h \end{aligned}$$

K odvození řádu: $y'' = df(x, y)/dx = f_x + fy' = f_x + fy \Rightarrow$

dohoda: není-li uveden argument funkce, je to x

$$\begin{aligned} y(x+h) &= y(x) + \frac{h}{2}(k_1 + k_2) \\ &\approx y(x) + \frac{h}{2}(y' + y' + hf_x + hf_y y') = y(x) + hy'(x) + \frac{h^2}{2}y''(x) \end{aligned}$$

Tedy metoda má lokální chybu $O(h^3)$ (nebo lepší) a je (alespoň) 2. řádu.

Jiné **zpřesnění** (styl poloviční krok nebo obdélník):

$$\begin{aligned} k_1 &:= f(x, y) \\ k_2 &:= f(x + \frac{h}{2}, y(x) + \frac{h}{2}k_1) \\ y(x+h) &:= y(x) + hk_2 \\ x &:= x + h \end{aligned}$$

stejný řád chyby, menší koeficient

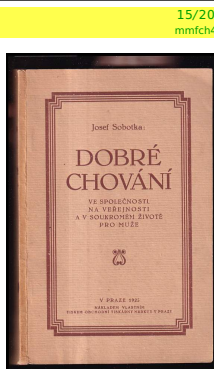
Runge-Kutta 3. řádu (RK3)

+ 14/20
mmfch4

Jedna z možností, zakončená Simpsonem

$$\begin{aligned} k_1 &:= f(x, y) \\ k_2 &:= f(x + \frac{h}{2}, y(x) + \frac{h}{2}k_1) \\ k_3 &:= f(x + h, y(x) + h(2k_2 - k_1)) \\ y(x+h) &:= y(x) + \frac{h}{6}(k_1 + 4k_2 + k_3) \\ x &:= x + h \end{aligned}$$

Člen $(2k_2 - k_1)$ je vlastně 1 krok Richardsonovy extrapolace, tj. dává $y'(x+h)$ s větší přesností než oba odhady k_1 a k_2 .



Populární metoda 4. řádu (lokální chyba $O(h^5)$) s dobrým chováním:

$$\begin{aligned} k_1 &:= f(x, y) \\ k_2 &:= f(x + \frac{h}{2}, y(x) + \frac{h}{2}k_1) \\ k_3 &:= f(x + \frac{h}{2}, y(x) + \frac{h}{2}k_2) \\ k_4 &:= f(x + h, y(x) + hk_3) \\ y(x+h) &:= y(x) + \frac{h}{6}(k_1 + 2k_2 + 2k_3 + k_4) \\ x &:= x + h \end{aligned}$$

viz mmpc4.mw Runge-Kutta: $O(h^1) - O(h^4)$

Prediktor-korektor – úvod

16/20
mmfch4

Známe historii, tj. hodnoty (a/nebo derivace, tj. pravé strany). S větším množstvem použité informace lze očekávat přesnější/efektivnější metodu.

• prediktor: predikujeme $y^P(x+h)$:

- používáme pravou stranu (obvykle stabilnější a přesnější)
- nepoužíváme pravou stranu (Gearovy metody – extrapolujeme funkci i její derivace)

• [případně modifikátor]

• korektor: počítáme výslednou hodnotu $y^C(x+h)$:

- počítáme pravou stranu jednou
- počítáme pravou stranu víckrát
- počítáme pravou stranu jednou nebo víckrát iterativně

Problém – **stabilita**: chybě v každém kroku se propagují do dalších kroků, metoda musí být navržena tak, že chybě se pokud možno nekumulují a hlavně nerostou exponenciálně.

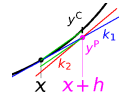
Pokud koeficienty metody jsou velké a střídají znaménka, metoda bude pravděpodobně nestabilní.

Prediktor-korektor

17/20
mmfch4

Nejprve přepišme RK2 do tvaru prediktor-korektor takto:

$$\begin{aligned} y^P(x+h) &= y(x) + hf(x, y(x)) + O(h^2) \\ y^C(x+h) &= y(x) + \frac{h}{2}[f(x, y(x)) + f(x+h, y^P(x+h))] + O(h^3) \end{aligned}$$



druhý krok je $O(h^3)$, protože je to lichoběžník, a chyba $y^P(x+h)$ je $hO(h^2)$.

Zkusme nyní vylepšit oba kroky.

Prediktor:

$$\frac{\frac{3}{2}y'(x) - \frac{1}{2}y'(x) + \frac{h}{2}y''(x)}{h}$$

$$y^P(x+h) = y(x) + h[\frac{3}{2}f(x) - \frac{1}{2}f(x-h)] + O(h^3)$$

kde $f(x) \equiv f(x, y(x))$ a $f(x-h) \equiv f(x-h, y(x-h))$ (z předchozího kroku).

Korektor hledejme ve tvaru:

$$y^C(x+h) = y(x) + h[a(f(x-h) + bf(x) + cf(x+h, y^P(x+h)))]$$

Metoda testovací rovnice $y = y'$ ($y = e^x$) →

$$y^C(x+h) = y(x) + \frac{h}{12}[-f(x-h) + 8f(x) + 5f(x+h, y^P(x+h))] + O(h^4)$$

tj. je to metoda 3. řádu (lokální chyba $O(h^4)$)

viz mmpc4.mw Predictor-corrector – 3rd order example, determining the coefficients of the corrector

Prediktor-korektor 3. řád – stabilita

18/20
mmfch4

Metoda je lokálně $O(h^4)$, takže můžeme napsat (zanebdávajíc $O(h^5)$):

$$y(x-ih) = y^{\text{přesně}}(x-ih) + \epsilon_i h^4$$

Zkusme testovací rovnici $y' = y$ s $y(0) = 1$ (řešení je $y = e^x$). Pomocí Maple:

$$\epsilon_{i+1} = \epsilon_i - 13/144$$

• chyba v $y(x-h)$, $y(x-2h)$... se nešíří dál (s přesností do h^4)

• v jednom kroku vznikne chyba $\propto h^4$

viz mmpc4.mw Predictor-corrector with up to 2 evaluations of the rhs/step: $O(h^1) - O(h^3)$

... a ted' se podíváme na to, co se může pokazit

Milneova metoda

19/20
mmfch4

Korektor je Simpsonovo pravidlo.

$$y^P(x+h) = y(x-3h) + \frac{4h}{3}[2f(x) - f(x-h) + 2f(x-2h)]$$

$$y^C(x+h) = y(x-h) + \frac{h}{3}[f(x-h) + 4f(x) + f(x+h, y^P(x+h))]$$

Lokální chyba je $O(h^5)$. Nechť $y(ih)$ má chybu $\epsilon_i h^5$. Pak tato chyba se šíří takto (viz Maple za použití testovací rovnice $y' = y$):

$$\epsilon_{i+1} := \frac{1}{90} + \epsilon_{i-1}$$

Diskuse:

• $\epsilon_{i+1} := \frac{1}{90} + \epsilon_i$ bylo OK (taková chyba se v principu nedá odstranit)

příklad nestabilní metody: $\epsilon_{i+1} := \frac{4}{3}\epsilon_i + 1/90$

příklad stabilní metody: $\epsilon_{i+1} := \frac{3}{4}\epsilon_i + 1/90$

• Růst chyby „ob dva“ znamená, že $\epsilon_{\text{sudé}}$ a $\epsilon_{\text{liché}}$ jsou jiné – řešení se může rozkrmitat (podle vysších řádů).

• Milneova metoda je poněkud specifická – na hraniční stability

viz mmpc4.mw Milne method and stability

Runge-Kutta 4. řádu (RK4)

15/20
mmfch4

Populární metoda 4. řádu (lokální chyba $O(h^5)$) s dobrým chováním:

$$\begin{aligned} k_1 &:= f(x, y) \\ k_2 &:= f(x + \frac{h}{2}, y(x) + \frac{h}{2}k_1) \\ k_3 &:= f(x + \frac{h}{2}, y(x) + \frac{h}{2}k_2) \\ k_4 &:= f(x + h, y(x) + hk_3) \\ y(x+h) &:= y(x) + \frac{h}{6}(k_1 + 2k_2 + 2k_3 + k_4) \\ x &:= x + h \end{aligned}$$

viz mmpc4.mw Runge-Kutta: $O(h^1) - O(h^4)$

Stabilita a lineární diferenční rovnice

20/20
mmfch4

Typicky je rovnice šíření chyb (v řádu lokální chyby) tvaru

$$\epsilon_{i+1} := a_0 + a_1 \epsilon_i + a_2 \epsilon_{i-1} + \dots + a_n \epsilon_{i-n}$$

To je **lineární diferenční rovnice**. Ta má obecné řešení tvaru

$$\epsilon_i = \sum_x b_x x^i + b_c$$

kde se sčítá se přes všechny kořeny tzv. **charakteristického polynomu**

$$x^{n+1} = c_0 x^n + \dots + c_n x^0$$

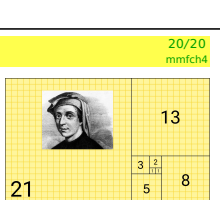
V případě násobných kořenů jsou tam členy x^i , ix^i , atd. – je to podobné, jako pro lineární homogenní diferenční rovnici.

Chybě nesmí exponenciálně růst ⇒ pro kořeny musí platit $|x| < 1$.

Příklad diferenční rovnice: Fibonacciova posloupnost

$$F_0 = 0, \quad F_1 = 1, \quad F_n = F_{n-1} + F_{n-2} \text{ pro } n > 1$$

$$\text{maticově: } \begin{pmatrix} F_{n+2} \\ F_{n+1} \end{pmatrix} = \begin{pmatrix} 1 & 1 \\ 1 & 0 \end{pmatrix} \cdot \begin{pmatrix} F_n \\ F_{n-1} \end{pmatrix} \Rightarrow F_n = \frac{1}{\sqrt{5}} \left[\left(\frac{1+\sqrt{5}}{2} \right)^n - \left(\frac{1-\sqrt{5}}{2} \right)^n \right]$$



credit: Wikipedia, Oscar en Fotos